

تلفیق مشاهدات GNSS و فاصله جفت‌ماهواره GRACE به کمک فیلتر کالمن بی‌اثر (مطالعه موردی: بازیابی میدان گرانش شبیه‌سازی‌شده)

محمد علی شریفی^{۱*}، سعید فرزانه^۲، و علی عمومی^۳

^۱دانشیار، دانشکده مهندسی نقشه‌برداری، پردیس دانشکده‌های فنی، دانشگاه تهران، تهران، ایران

^۲استادیار، دانشکده مهندسی نقشه‌برداری، پردیس دانشکده‌های فنی، دانشگاه تهران، تهران، ایران

^۳کارشناسی ارشد ژئودزی، دانشکده مهندسی نقشه‌برداری، پردیس دانشکده‌های فنی، دانشگاه تهران، تهران، ایران

(تاریخ دریافت: ۱۳۹۷/۰۸/۱۲، تاریخ پذیرش: ۱۳۹۸/۰۲/۰۴)

چکیده

با پیشرفت صنایع فضایی، توسعه علوم ماهواره‌ای، بررسی ارتباط متقابل مدار ماهواره‌ها و طراحی مأموریت‌های زمین-پژوهشی فضایی، تعیین میدان گرانش و مدل‌سازی تغییرات آن همواره مورد توجه قرار گرفته است. امروزه گیرنده‌های سامانه موقعیت‌یابی جهانی امکان تعیین موقعیت ماهواره‌های گرانی‌ستجی همچون GRACE را تا حد زیادی تسهیل کرده است. با در اختیارداشتن اطلاعات سینماتیکی و دینامیکی ماهواره همچون موقعیت و سرعت می‌توان به تقریب قابل قبولی از میدان گرانش زمین رسید و تغییرات آن را در طول زمان ردیابی و بررسی کرد. لزوم برآورد و تخمین دقیق‌تر مدار ماهواره‌های گرانی‌ستجی در تعیین میدان گرانشی دقیق‌تر و صحیح‌تر، پژوهشگران را به سمت توسعه و بهبود ابزار اندازه‌گیری و روش‌های برآورد مدار ماهواره‌ها سوق داده است. در این پژوهش در مرحله نخست با دو روش مشتق‌گیری عددی و فیلتر کالمن گسترش‌یافته، توانایی مشاهدات GPS در بازسازی مشاهدات فاصله‌یاب رادیویی (KBR) بررسی و در ادامه توانایی این فیلتر در تلفیق مشاهدات GPS و KBR با نتایج فیلتر کالمن بی‌اثر مقایسه می‌شود؛ نتیجه این مقایسه، بهبود حدود ده برابری را نشان می‌دهد. پس از آن به منظور بررسی دقیق‌تر روش پیشنهادی از منظر عملی، با استفاده از روش ستاپ و مدارهای برآورده شده در مرحله پیشین، میدان گرانش EGM96 تا درجه و مرتبه ۷۰ بازیابی و خروجی روش‌ها در ابتدا با واریانس درجه و سپس از منظر اختلاف ارتفاع ژئوئیدی با میدان مرجع بررسی می‌شود. نتایج این مرحله نیز بهبود تقریباً ده برابری اختلاف‌های واریانس درجه و کمتر از ده برابر برای ارتفاع‌های ژئوئیدی را نشان می‌دهد.

واژه‌های کلیدی: میدان نقل، EKF، UKF، مشتق‌گیری عددی، ماهواره GRACE

۲۰۰۳). در سال ۲۰۰۲، سازمان ملی مدیریت هوانوردی و فضای ایالات متحده آمریکا و مرکز هوانوردی و فضایی آلمان، جفت‌ماهواره GRACE را برای انجام اهدافی مشابه به مداری نزدیک قطبی و دایره‌ای در ارتفاع ۴۸۰ کیلومتری از سطح زمین پرتاب کردند. این ماهواره‌ها علاوه‌بر تجهیزات اندازه‌گیری استفاده شده در CHAMP، ultra-stable از تجهیزات اندازه‌گیری استفاده شده (از تجهیزات همچون نوسانگر فرآپایا (oscillator)، فاصله‌یاب رادیویی باند-K دوطرفه و دوربین‌های ردیابی ستارگان نیز در جهت بهبود هرچه بیشتر دقت فرایند تعیین میدان گرانش و دیگر اهداف مأموریت بهره می‌برند. این جفت‌ماهواره، از فاصله‌یابی رادیویی و بسیار دقیق نیز برخوردار هستند و فاصله بین خود را اندازه‌گیری می‌کنند. تغییرات در اندازه این فاصله (موقعیت نسبی ماهواره‌ها) به معنی تغییرات پارامترهای حرکتی نسبی جفت‌ماهواره پس از اعمال تصحیحات مربوط، به تغییرات مکانی میدان گرانشی زمین تعییر می‌شود. این مأموریت موفق‌ترین مأموریت فضایی گرانی-سنگی ماهواره‌ای به شمار می‌رود، به طوری که با استفاده از مانورهای مداری مناسب، این ماهواره‌ها همچنان در حال استخراج داده‌های ذی قیمت هستند (روم و همکاران، ۲۰۰۲). پس از پرتاب ماهواره GOCE در سال ۲۰۰۹ به فضا در ارتفاع ۲۵۰ کیلومتری سطح زمین در مداری مشابه مأموریت‌های پیشین، نخستین مأموریت گرادیومتر ویژه فضایی میدان گرانش آغاز شد. این ماهواره با استفاده از گیرنده GPS/GloNASS خود و یک گرادیومتر گرانشی نقش بزرگی در فراهم‌آوری داده‌های مناسب و دقیق در جهت بازیابی میدان گرانشی زمین، تعیین ژئوئید و همچنین جریان‌های دریایی ایفا می‌کند (رویلت و همکاران، ۲۰۱۳).

با تعیین مدار ماهواره یا ماهواره‌ها (موقعیت، سرعت و شتاب مطلق و نسی)، پس از اعمال تصحیحات مربوط اعم از نیروهای سطحی و حجمی غیرزمینی، هرگونه

۱ مقدمه

امروزه استفاده از ماهواره برای تعیین میدان گرانش زمین، سهم بزرگی در دقت و گستردگی انجام این مهم دارد. داده‌هایی که ماهواره‌ها جمع‌آوری می‌کنند، از منظر دقت، گستره پوشش و تراکم حائز اهمیت و توجه بسیاری هستند. کشورهای پیشرو در فناوری‌های فضایی و ماهواره‌ای با پرتاب ماهواره‌های گرانی-سنگی همچون GOCE و GRACE، CHAMP گوناگون جمع‌آوری اطلاعات و پردازش آنها، امکان تعیین دقیق‌تر و صحیح‌تر میدان گرانش را فراهم کردند. اثر متقابل بسیاری از پدیده‌های ژئوفیزیکی و میدان گرانش زمین بر یکدیگر، اهمیت تعیین و شناخت دقیق و صحیح این میدان و تغییرات آن را در طول زمان مشخص می‌کند (باقربنی و همکاران، ۲۰۱۵). با تعیین دقیق میدان گرانش زمین و نحوه تغییرات آن می‌توان اطلاعات ذی قیمتی از پدیده‌هایی همچون تغییرات سطح آب‌های زیرزمینی، حرکت مگمای گوشته زمین، جزرومود و بسیاری از پدیده‌های دیگر به دست آورد و از این اطلاعات در مدل‌سازی طبیعت زمین و محیط زیست استفاده کرد (فاس و همکاران، ۲۰۱۳).

با پرتاب ماهواره CHAMP در سال ۲۰۰۰، عصر تعیین میدان گرانش با داده‌های ماهواره‌ای به صورت رسمی و ویژه آغاز شد. این ماهواره را مرکز مطالعات زمین آلمان با هدف تهیه نقشه گرانشی، مغناطیسی، مقطع یونوسفر و تروپوسفر زمین، به یک مدار نزدیک قطبی دایره‌ای در ارتفاع ۴۵۰ کیلومتری سطح زمین پرتاب کرد. ماهواره CHAMP با استفاده از یک گیرنده GPS فضایی با شانزده کanal، یک شتاب‌سنج سه محوری برای اندازه‌گیری شتاب‌های ناشی از نیروهای غیرجاذبی، بازتابنده‌های لیزر، مغناطیس‌سنج و یون‌سنج و دیگر دستگاه‌های اندازه‌گیری، داده‌های ارزشمندی را برای حل مسئله تعیین میدان گرانش در اختیار قرار داده است (گرلاخ و همکاران،

و درنهایت، مدار ماهواره با به کارگیری روش‌های بازیابی میدان گرانش به ضرایب هماهنگ کروی برای طول موج‌های بلند (تا درجه و مرتبه ۷۰) تبدیل می‌شود. این روش برای نخستین بار در ماهواره CHAMP و سپس در ماهواره GOCE به کارگرفته شد (شریفی، ۲۰۰۶، ۲۰۰۴). ردبایی ماهواره‌ای Low-Low. این روش برای تعیین مدار نسبی دسته‌ماهواره به کارگرفته می‌شود. با استفاده از تجهیزاتی همچون گیرنده و فرستنده امواج ریزموج یا لیزر، موقعیت، سرعت و شتاب نسبی ماهواره‌ها محاسبه و مدار نسبی ماهواره‌ها به عنوان ورودی مسئله بازیابی میدان گرانش به الگوریتم‌های موجود تزریق می‌شود. به صورت دقیق‌تر، در این روش فاصله ماهواره‌ها (ρ) و تغییرات آن ($\dot{\rho}$) با فاصله‌یاب رادیویی یا لیزری موجود روی ماهواره‌ها تعیین می‌شود (شریفی، ۲۰۰۶، ۲۰۰۴). در جفت‌ماهواره‌های GRACE با به کارگیری هم‌زمان دو روش HL و LL برای تعیین مدار ماهواره و ایجاد فزونی مشاهدات، ضرایب هماهنگ‌های کروی برای طول موج‌های کوتاه-تری (تا درجه و مرتبه ۲۰۰) محاسبه می‌شود و بنابراین مدل دقیق‌تری از میدان گرانشی زمین به دست می‌آید. در این ماهواره‌ها ردبایی HL با گیرنده سامانه موقعیت‌یاب LL جهانی Blackjack با نرخ برداشت ۱/۰ هرتز و ردبایی KBR با فاصله‌یاب رادیویی با نرخ برداشت ۱۰ هرتز انجام می‌پذیرد و فاصله (ρ) و تغییرات آن ($\dot{\rho}$) مشاهده می‌شود. بین این مشاهدات رابطه زیر برقرار است (صفری و همکاران، ۱۳۹۳):

$$\langle \ddot{r}_1 + \ddot{r}_2, r_1 + r_2 \rangle = \dot{\rho}^2 + \rho \ddot{\rho} - \langle \dot{r}_1 + \dot{r}_2, \ddot{r}_1 + \ddot{r}_2 \rangle \quad (1)$$

که ۲، ۲ و ۲ به ترتیب بردارهای موقعیت، سرعت و شتاب هستند که برای هر کدام از ماهواره‌ها با اندیس مربوط به خود مشخص شده‌اند. دقت هرچه بیشتر در اندازه‌گیری مشاهدات و محاسبه مؤلفه‌های مدار ماهواره‌ها به دقت و صحت هرچه بیشتر در تعیین ضرایب هماهنگ میدان

تغییری در عناصر مداری ماهواره را می‌توان به تغییرات میدان جاذبه وابسته دانست. روش‌های متعددی در بازیابی میدان گرانش زمین معرفی و توسعه داده شده‌اند که به طور کلی دو روش انتگرال انرژی و شتاب از مشهورترین این روش‌ها هستند. در روش نخست با استفاده از قانون پایستگی انرژی و بهره‌گیری از انتگرال انرژی روی مدار، می‌توان مشاهدات سرعت ماهواره را به عنوان اندازه‌گیری-هایی در راستای حل مسئله بازیابی میدان گرانش به کاربرد. در این روش با انتگرال‌گیری عددی از معادلات حرکت ماهواره که به صورت معادلات تغییرات هستند، پارامترهای مداری و میدان جاذبه به صورت توانمند محاسبه می‌شوند. این روش به دلیل وجود دستگاه معادلات بزرگ و ماتریس نرمال پر نیازمند توان محاسباتی بسیار زیادی است و روشی زمان‌بر به شمارمی‌آید (خدماتی و همکاران، ۱۳۸۹؛ گرلاخ و همکاران، ۲۰۰۳ و هایسکانن و موریتز، ۱۹۸۴). روش دوم استفاده از قانون دوم نیوتون و به کاربردن شتاب ماهواره‌ها به عنوان مشاهده است. استخراج شتاب ماهواره‌ها معمولاً با مشتق‌گیری عددی از موقعیت و سرعت سرعت ماهواره‌ها به دست می‌آید. در این روش فاصله بین ماهواره‌ها، تغییرات مرتبه اول و تغییرات مرتبه دوم آن محاسبه می‌شود. تغییرات مرتبه دوم این فاصله نماینده‌ای از شتاب ماهواره‌ها در راستای خط واصل بین جفت‌ماهواره است و تغییرات این شتاب بیانگر تأثیر نیروهای مؤثر بر حرکت نسبی ماهواره‌ها است. به طور کلی مشاهدات و اندازه‌گیری‌های استفاده شده در تعیین میدان گرانش از گیرنده GPS و فاصله‌یاب رادیویی تأمین می‌شوند (خدماتی و همکاران، ۱۳۹۱، شریفی، ۲۰۰۶). برای تعیین میدان گرانش زمین با کمک مدار ماهواره دو روش کلی وجود دارد:

ردبایی ماهواره‌ای High-Low: در این روش با استفاده از ماهواره‌های با ارتفاع بالا، به عنوان مثال GPS، موقعیت و سرعت (مدار) ماهواره یا ماهواره‌های گرانی‌سنگی تعیین

که در این معادلات F ، B و H به ترتیب اپراتورهای خطی مربوط به حالت، نوافه سیستم و مشاهدات هستند. از آنجاکه در واقعیت، مشاهدات در بازه‌های زمانی گستته در نظر گرفته می‌شوند، لازم است این معادلات گستته‌سازی و بازنویسی شوند. شکل گستته روابط به صورت زیر است (کراسیدیس و یونکیتز، ۲۰۱۲):

$$\hat{x}_{k+1} = \Phi_k \hat{x}_k + L_k w_k, \quad (6)$$

$$\tilde{y}_{k+1} = H_k \hat{x}_{k+1} + \hat{v}_{k+1}, \quad (7)$$

که Φ ، L ، \tilde{y} و w به ترتیب ماتریس گذر، شکل گستته ماتریس طرح نوافه سیستمی، مشاهده (اندازه گیری) و بردار نوافه مشاهدات هستند. شایان ذکر است که هر کدام از روابط (۶) و (۷) می‌توانند در همه زمان‌ها به خودی خود پاسخی مستقل برای مدار داشته باشند. در رابطه (۶) مقدار اولیه‌ای برای بردار وضعیت مورد نیاز است، اما به دلیل نقص مدل دینامیکی، با پیشروی در زمان، انحراف پاسخ معادلات از مدار حقیقی بیشتر می‌شود. از طرف دیگر، در رابطه (۷) نیز به دلیل وجود نوافه در مشاهدات، مدار برآورده شده به شدت آلوده به نوافه خواهد بود. با استفاده هم‌زمان از این دو رابطه، هریک از آنها نقص دیگری را پوشش خواهد داد و پاسخ به صورت کلی زیر خواهد بود (کراسیدیس و یونکیتز، ۲۰۱۲):

$$\hat{x}_{k+1}^- = \Phi_k \hat{x}_k^+ + L_k w_k, \quad (8)$$

$$\hat{x}_{k+1}^+ = \hat{x}_{k+1}^- + K(\tilde{y}_{k+1} - H_{k+1} \hat{x}_{k+1}^-), \quad (9)$$

رابطه (۸) را رابطه پیش‌بینی و رابطه (۹) را رابطه بهنگام‌سازی می‌نامند. در رابطه (۹) ماتریس K را ماتریس بهره این برآورده گر می‌نامند که بیانگر نحوه و میزان تأثیر سهم متقابل مدل دینامیکی و مشاهدات در برآورده مدار سیستم است. اگر ماتریس K به گونه‌ای تعیین

گرانش زمین می‌انجامد؛ از این‌رو در این پژوهش در ابتداء مشاهدات استفاده شده در روش بازیابی میدان گرانش زمین به دو روش و تنها با استفاده از اندازه گیری‌های موقعیت بهبود می‌یابند و با یکدیگر مقایسه می‌شوند سپس به نحوه بهبود تعیین میدان گرانش با تلفیق مشاهدات موقعیت و KBR به صورت توانمند با استفاده از روش UKF پرداخته و در نهایت، نتایج بازیابی میدان گرانش با روش شتاب بررسی می‌شود.

۲ سیستم دینامیکی و برآورده گر مرتبه کامل یک سیستم دینامیکی با یک دستگاه معادلات دیفرانسیل حاکم بر عناصر وضعیت سیستم و مشاهدات مستقیم و غیرمستقیم مرتبط با آنها بیان می‌شود. این مشاهدات می‌توانند خروجی‌های دستگاه نیز تلقی شوند. شکل کلی دستگاه معادلات دینامیکی و معادلات مشاهدات به صورت زیر است (کراسیدیس و یونکیتز، ۲۰۱۲):

$$\dot{x}(t) = T(x(t), w(t)), \quad (2)$$

$$y(t) = G(x(t)), \quad (3)$$

که x ، w و y به ترتیب بردارهای وضعیت سیستم، نوافه سیستمی و مشاهده (خروجی سیستم) و T و G به ترتیب تبدیلات مربوط به دینامیک و مشاهدات هستند. اگر روابط حاکم بر عناصر مدار سیستم و همچنین رابطه وضعیت و مشاهدات، خطی باشد؛ سیستم را سیستم دینامیکی خطی می‌نامند و روابط آن به صورت زیر بازنویسی می‌شوند (کراسیدیس و یونکیتز، ۲۰۱۲):

$$\dot{x}(t) = F(t)x(t) + B(t)w(t) \quad (4)$$

$$y(t) = H(t)x(t) \quad (5)$$

که A و B به ترتیب برابر با $a_{ij} = \frac{\partial T_i}{\partial w_j}$ و $b_{ij} = \frac{\partial T_i}{\partial x_j}$ و H نیز برابر با $h_{ij} = \frac{\partial G_i}{\partial x_j}$ است که باید در هر زمان، ارزیابی و مقدار عددی آنها محاسبه شود. ماتریس طرح B معمولاً ماتریسی ثابت است. W و V به ترتیب فرایندهای تصادفی نویه مدل دینامیکی و مدل مشاهدات هستند که هر دو با گشتوارهای مرتبه اول برابر صفر و گشتوارهای مرتبه دوم به ترتیب Q_e و R معرفی می‌شوند. این معادلات باید برای بازه‌های زمانی T گسته‌سازی و به شکل زیر تبدیل شوند (گیبس، ۲۰۱۱):

$$\hat{x}_{k+1} = \Phi_k \hat{x}_k + B_k w_k, \quad (12)$$

$$\tilde{y}_{k+1} = H_{k+1} \hat{x}_{k+1} + \hat{v}_{k+1}, \quad (13)$$

$$\Phi_k = e^{A_k T} = I + \sum_{i=1}^{\infty} \frac{(AT)^i}{i!}, \quad (14)$$

$$Q_d = \int_0^T e^{A_k(T-\tau)} B_k Q_c B_k^t e^{A_k(T-\tau)} d\tau, \quad (15)$$

که Φ_k ماتریس گذر و Q_d ماتریس نویه دینامیکی گسته است. پس از محاسبه مدل گسته باید فرایند-فیلتر کردن کالمن در دو مرحله پیش‌بینی (انتشار) و بهروز-رسانی انجام شود که در این مراحل به ترتیب دینامیک حاکم بر مسئله و سپس مشاهدات اخذشده در برآورد مؤلفه‌های مدار تأثیر می‌گذارند. اگر مدار اولیه \hat{x}_0 و ماتریس وزن آن، P_0 ، مشخص و معلوم باشند؛ نحوه انجام و اعمال این دو مرحله در هر زمان در روابط زیر مشاهده می‌شود. روابط (۱۶) و (۱۷) برای پیش‌بینی بردار وضعیت و ماتریس واریانس-کوواریانس آن استفاده می‌شوند (کراسیدیس و یونکیتز، ۲۰۱۲):

$$\hat{x}_{k+1}^- = \Phi_k \hat{x}_k^+ \quad (16)$$

$$P_{k+1}^- = \Phi_k P_k^+ \Phi_k^t + Q_d \quad (17)$$

برای بهروزرسانی روابط زیر را خواهیم داشت:

$$\hat{x}_{k+1}^+ = \hat{x}_{k+1}^- + K_{k+1}(\tilde{y}_{k+1} - H(\hat{x}_{k+1}^-)) \quad (18)$$

شود که اثر ماتریس واریانس-کوواریانس مدار برآورد-شده کمیته شود، این ماتریس را ماتریس بهره کالمن و برآوردگر مدار تحت این ماتریس را فیلتر کالمن می‌نامند (کالمن، ۱۹۶۰). با نگاهی به شکل معادلات دینامیک سیستم و مشاهدات، فیلتر کالمن را به سه شکل متفاوت فیلتر کالمن استاندارد (Standard Kalman Filter)، فیلتر کالمن گسترش‌یافته (Extended Kalman Filter) و فیلتر کالمن بی‌اثر (Unscented Kalman Filter) می‌توان بازسازی کرد.

۱-۲ فیلتر کالمن استاندارد

از این فیلتر هنگامی استفاده می‌شود که معادلات دینامیکی و مشاهدات شکل خطی داشته باشند (کالمن، ۱۹۶۰).

۲-۲ فیلتر کالمن گسترش‌یافته

این فیلتر در حالتی استفاده می‌شود که معادلات دینامیکی و مشاهدات غیرخطی باشند. پس از خطی‌سازی معادلات و استفاده از بسط تیلور برای تقریب زدن، شکل معادلات پیش‌بینی و به‌هنگام‌سازی به صورتی تبدیل می‌شود که بسیار مشابه آن چیزی است که در فیلتر استاندارد موجود است. این فیلتر حالت خاص و کارآمدتری از فیلتر کالمن خطی‌سازی شده است (کراسیدیس و یونکیتز، ۲۰۱۲).

روابط (۲) و (۳) را برای سیستم دینامیکی غیرخطی در نظر بگیرید. به دلیل غیرخطی بودن این روابط، کاربرد مستقیم آنها در روابط کالمن فیلتر استاندارد ممکن نیست؛ بنابراین باید از روابط کالمن گسترش‌یافته استفاده شود. در این روش از مشتق معادلات غیرخطی دینامیک و مشاهدات استفاده می‌شود (کراسیدیس و یونکیتز، ۲۰۱۲):

$$\dot{x}(t) = A(t)x(t) + B(t)w(t), \quad (10)$$

$$y(t) = H(t)x(t) + v(t), \quad (11)$$

گشتاورهای آن توزیع بیان کرد؛ برای مثال یکتابع توزیع نرمال را می‌توان با معرفی دو گشتاور مرتبه اول و دوم آن توصیف کرد که به ترتیب میانگین و انحراف معیار توزیع هستند. حال اگر متغیر x (مجھولات) خود تابعی از متغیر دیگری مثل y (مشاهدات) باشد و توزیع y نیز موجود و مشخص باشد، این گشتاورها را با روابط مشخصی از فضای y می‌توان بر فضای x تصویر کرد؛ به طور مثال اگر توزیع y توزیع نرمال با امید و انحراف معیار مشخص باشد و رابطه بین x و y یک رابطه خطی فرض شود، تصویر پارامترهای این توزیع با روابط زیر محاسبه می‌شود (یولیر، ۲۰۰۲):

$$x = f(y) = Ay \quad (21)$$

$$E(x) = E(Ay) = AE(y) \quad (22)$$

$$E(xx^t) = C_{xx} = AC_{yy}A^t \quad (23)$$

حال اگر رابطه بین x و y خطی نباشد، فرایند تصویرسازی باید با تقریب انجام شود. روش مرسوم در تصویر کردن توزیع‌ها تحت روابط غیرخطی، استفاده از تقریب تیلور رابطه غیرخطی موجود است. واضح است که برای افزایش کیفیت و حفظ خواص غیرخطی رابطه بین x و y لازم است جملات بیشتری از تقریب تیلور رابطه استفاده شوند و این در حالی است که با افزایش جملات تقریب تیلور، پیچیدگی روابط فرایند تصویرسازی برای تقریب‌های بالاتر از تقریب خطی و همچنین حجم محاسبات به‌طور چشمگیری افزایش می‌یابد به طوری که در عمل، برای توزیع‌های پیچیده مشاهدات و روابط بهشت غیرخطی، تصویر کردن توزیع مشاهدات روی فضای مجھولات میسر نخواهد بود (یولیر، ۲۰۰۲). یولیر و اولمان راهکاری جدید برای تسهیل و تقریب فرایند تصویرسازی و حفظ

$$P_{k+1}^+ = (I - K_{k+1}H_{k+1})P_{k+1}^- \quad (19)$$

در این روابط ماتریس K ماتریس بهره کالمن نامیده می‌شود که میزان تأثیر مشاهدات در مرحله بهروزرسانی مؤلفه‌های مدار را مشخص می‌کند (کراسیدیس و یونکیتز، ۲۰۱۲):

$$K_{k+1} = P_{k+1}^- H_{k+1}^t (H_{k+1} P_{k+1}^- H_{k+1}^t + R_{k+1})^{-1} \quad (20)$$

برای اجرا و اعمال این فیلتر لازم است مقادیر اولیه بردار مدار و وزن آن مشخص باشد. در صورت مشخص بودن این مقادیر و صحت مدل‌سازی مسئله، فیلتر همگرا می‌شود و بردار مدار و وزن آن به مقادیر حقیقی خود میل می‌کنند. از طرفی، تعیین ماتریس R و Q_d (یا Q_c) تأثیر بسزایی در نتایج خواهد داشت به گونه‌ای که نسبت این دو ماتریس، معیاری برای نسبت تأثیر دینامیک یا مشاهدات در برآورد بردار مجھولات حالت است (گیس، ۲۰۱۱). زمانی که مدل‌سازی دینامیک و مشاهدات بهشت غیرخطی باشد، این روش به دلیل استفاده از مشتق مرتبه اول یا حداقل مشتق مرتبه دوم، قادر به ارائه پاسخ همگرا و پایدار نیست و باید روش مقاوم و پایدارتر به کاربرده شود (یولیر و اولمان، ۲۰۰۴ و گیس، ۲۰۱۱).

۳-۲ فیلتر کالمن بی اثر

این فیلتر زمانی کاربرد دارد که معادلات، رفتاری بهشت غیرخطی از خود نشان دهنند. مبنای این فیلتر استفاده از A -تبديل بی اثر است که در آن به جای تقریب تبدیل، ابتدا با نمونه-برداری از توزیع مشاهدات و سپس انتقال آنها با تبدیل، توزیع مشاهدات را بر توزیع مجھولات می‌نگارد و توزیع مجھولات را بازسازی می‌کند (یولیر و اولمان، ۲۰۰۴).

۳-۳-۱ تبدیل بی اثر (Unscented Transform)

برآورد یک پارامتر را می‌توان به معرفی توزیع و پارامترهای توزیع آماری آن تعییر کرد. به طور کلی مشخصات و شکل یک توزیع آماری را می‌توان با

معادلات بهنگامسازی بردار وضعیت سیستم و ماتریس واریانس-کوواریانس آن عبارت اند از (گیبس، ۲۰۱۱):

$$\hat{x}_k^+ = \hat{x}_k^- + K_k \hat{e}_k^-, \quad (26)$$

$$P_k^+ = P_k^- + K_k P_k^{eyey} K_k^T, \quad (27)$$

که در آنها e بردار باقیمانده مشاهدات (تفاضل مقدار برآورده از مقدار مشاهداتی) است. حال برای به دست آوردن ماتریس بهره فیلتر، با اعمال شرط کالمن (کمینه‌سازی اثر ماتریس خطای مدار) و یا به بیانی دیگر، با به کارگیری قضیه گاووس-مارکوف، بهره کالمن نیز به صورت زیر تعریف خواهد شد (کراسیدیس و یونکیتز، ۲۰۱۲):

$$K_k = P_k^{exey} (P_k^{eyey})^{-1} \quad (28)$$

ماتریس‌های P_k^{exey} و P_k^{eyey} که به ترتیب ماتریس‌های cross همبستگی (correlation) و همبستگی متقابل (correlation) هستند با توجه به ماهیت تبدیل بی‌اثر محاسبه می‌شوند و مقادیر تجربی را تولید می‌کنند. برای محاسبه این ماتریس‌ها، در قدم اول باید نقاط سیگما را تعریف و تولید کنیم که همان نقاط نمونه‌برداری از توزیع توان مشاهدات هستند. در فیلتر کالمن بی‌اثر این نقاط با محاسبه امید ریاضی مجھولات و ستون‌های ماتریس P تشکیل می‌شوند؛ بنابراین اگر P ، ماتریسی با ابعاد $n \times n$ باشد، به ترتیب روابط زیر، به تعداد $2n$ نقطه سیگما تولید خواهد شد (یولیر و اولمان، ۲۰۰۴ و کراسیدیس و یونکیتز، ۲۰۱۲):

$$\chi_k^{(0)} = \hat{x}_k, \quad (29)$$

$$\chi_k^{(2i-1)} = \hat{x}_k - \sqrt{(n+\lambda)p_i}, \quad (30)$$

خواص غیرخطی روابط موجود بین متغیرها ارائه کردند. در این روش به جای تقریب رابطه موجود بین دو فضاء، توزیع متغیرها در فضای اول با A -نقاط سیگما \equiv نمونه-برداری و تقریب زده می‌شود سپس رابطه غیرخطی، نقاط نمونه‌برداری شده از فضای اول را به طور مستقیم به فضای دوم می‌برد و توزیع را در فضای مجھولات می‌نگارد. پس از آن با استفاده از نقاط تصویرشده،تابع توزیع مجھولات بازسازی و مجھولات برآورد می‌شوند. در این تبدیل خواص غیرخطی، رابطه بین دو فضا حفظ می‌شود و آن را به ابزاری توانمند برای انجام تبدیلات بهشت غیرخطی مبدل می‌سازد. تبدیل نامبرده به A -تبدیل بی‌اثر \equiv موسوم است. نحوه انتخاب نقاط سیگما و تعیین چگونگی توزیع آنها در تابع توزیع مشاهدات، مسئله‌ای حائز اهمیت است که برای کاربرد تبدیل مذکور در فیلتر کالمن در ادامه به آن پرداخته می‌شود (یولیر و اولمان، ۲۰۰۴).

۲-۳-۲ فیلتر کالمن بی‌اثر (UKF)

با استفاده از منطق به کاررفته در تبدیل بی‌اثر و برای استفاده از خواص غیرخطی شدید در تابع تبدیل سیستم، می‌توان بدون خطی‌سازی توابع تبدیل و با حفظ خواص غیرخطی، تبدیلات را بر بردار وضعیت و ماتریس واریانس-کوواریانس آن اعمال کرد. اگر فرض شود در حالت کلی معادلات دینامیکی و مشاهدات حاکم بر سیستم به صورت زیر باشند (کراسیدیس و یونکیتز، ۲۰۱۲):

$$x_{k+1} = f(x_k, w_k), \quad (24)$$

$$\tilde{y}_{k+1} = h(x_{k+1}, v_{k+1}). \quad (25)$$

از رابطه (۹) و با به کاربستن قانون انتشار ماتریس واریانس-کوواریانس، به سادگی می‌توان دریافت که

$$\hat{x}_k^- = \sum_{i=0}^{2n} W_m^i \chi_k^i \quad (38)$$

$$\chi_k^{(2i)} = \hat{x}_k + \sqrt{(n+\lambda)p_i}, \quad (31)$$

$$P_k^- = \sum_{i=0}^{2n} W_c^i [\chi_k^i - \hat{x}_k^-] [\chi_k^i - \hat{x}_k^-]^T \quad (39)$$

$$\hat{y}_k^- = \sum_{i=0}^{2n} W_m^i \gamma_k^i \quad (40)$$

$$P_k^{e_y e_y} = \sum_{i=0}^{2n} W_c^i [\gamma_k^i - \hat{y}_k^-] [\gamma_k^i - \hat{y}_k^-]^T \quad (41)$$

$$P_k^{e_x e_y} = \sum_{i=0}^{2n} W_c^i [\chi_k^i - \hat{x}_k^-] [\gamma_k^i - \hat{y}_k^-]^T \quad (42)$$

$$K_k = P_k^{e_x e_y} (P_k^{e_y e_y})^{-1} \quad (43)$$

حال به کمک ماتریس بهره محاسبه شده و مقادیر مدار و واریانس-کواریانس انتشاریافته و بهره‌گیری از روابط (۱۵) و (۱۶)، مقادیر انتشاریافته به هنگام می‌شود. در این روش تعیین پارامترهای نمونه‌برداری و تولید نقاط سیگما بسیار حائز اهمیت است و تأثیر بسزایی در دقت و پایداری نتایج روش دارد؛ لذا تعیین این پارامترها را می‌توان با داشتن پیشین از توزیع احتمالاتی توابع تبدیل یا با سعی و خطأ و بررسی معیار بهینگی انجام داد (یولیر و اولمان، ۲۰۰۴ و کراسیدیس و یونکیتز، ۲۰۱۲).

۳ روش شتاب در بازیابی میدان گرانش
با دانستن مدار نسبی ماهواره‌ها، بازیابی میدان گرانش و برآورد ضرایب هماهنگ طول موج بلند و متوسط کروی برای کره زمین امکان‌پذیر خواهد بود. با توجه به سنجدنه‌های متعدد ماهواره‌های GRACE، اعم از گیرنده GPS و فاصله‌یاب رادیویی بسیار دقیق (KBR) تعییش شده روی این ماهواره‌ها می‌توان مدار نسبی ماهواره‌ها را برآورد و محاسبه کرد (رومی و همکاران، ۲۰۰۲). با مشخص بودن موقعیت هرچه دقیق‌تر ماهواره‌ها یا فاصله دقیق اندازه‌گیری شده با KBR و سپس با مشتق‌گیری عددی یا

که λ پارامتر مقیاس است که خود از دو پارامتر دیگر α (میزان پخش نقاط سیگما) و κ (درجه تأثیر گشتاورهای مراتب بالاتر توزیع احتمالاتی) تشکیل شده است. پس از آن لازم است وزن مناسب به نقاط سیگما اختصاص داده شود. این نقاط تحت تبدیل حاکم بر سیستم، بر فضای مجهولات (وضعیت) نگاشته می‌شوند (یولیر و اولمان، ۲۰۱۱؛ گیبس، ۲۰۱۱ و کراسیدیس و یونکیتز، ۲۰۱۲):

$$\lambda = \alpha^2(n + \kappa) - n, \quad (32)$$

$$\chi_{k+1}^{(i)} = f(\chi_k^{(i)}), \quad (33)$$

$$\gamma_{k+1}^{(i)} = f(\chi_{k+1}^{(i)}), \quad (34)$$

$$W_m^{(0)} = \frac{\lambda}{\lambda+n}, \quad (35)$$

$$W_c^{(0)} = \frac{\lambda}{\lambda+n} + (1 - \alpha^2 + \beta), \quad (36)$$

$$W_m^{(i)} = W_c^{(i)} = \frac{1}{2(\lambda+n)} ; i = 1, 2, 3, \dots, 2n \quad (37)$$

که W_m ، W_c و β به ترتیب وزن گشتاور اول (امید)، وزن گشتاور دوم (واریانس-کواریانس) نقاط سیگما و پارامتر آزاد تعیین کننده میزان تأثیر برآورده اولیه از توزیع وضعیت هستند. حال با روابطی که در ادامه بیان می‌شوند و میانگین‌گیری وزن دار از نقاط سیگما تبدیل یافته، بردار وضعیت و ماتریس واریانس-کواریانس آن پیش‌بینی و ماتریس‌های همبستگی و همبستگی متقابل نیز محاسبه می‌شوند تا در تولید ماتریس بهره کالمن و به هنگام سازی وضعیت و ماتریس واریانس-کواریانس آن (روابط (۲۶) و (۲۷)) به کار گرفته شوند (یولیر و اولمان، ۲۰۰۴ و کراسیدیس و یونکیتز، ۲۰۱۲):

دستگاه مختصات کروی محلی انتقال داد. دستگاه LSCS، دستگاهی محلی است که محور دوم آن در راستای نصف‌النهار، محور سوم آن در راستای شعاع کره زمین و محور اول آن به گونه‌ایست که دستگاه راست‌گرد باشد. اگر J^{NI} ماتریس تبدیل دستگاه مختصات LSCS به دستگاه مختصات اینرسیال باشد، می‌توان رابطه (۴۷) را به شکل زیر بازنویسی کرد (خادمی و همکاران، ۱۳۹۱ و شریفی، ۲۰۰۴):

$$(\vec{g}_2^I - \vec{g}_1^I) \cdot \vec{e}_{21} = (J_2^{NI} \vec{g}_2^N) \cdot \vec{e}_{21} - \quad (48)$$

$$(J_1^{NI} \vec{g}_1^N) \cdot \vec{e}_{21} = (J_2^{NI} \vec{e}_{21}) \cdot \vec{g}_2^N - (J_1^{NI} \vec{e}_{21}) \cdot \vec{g}_1^N = \\ (J_2^{IN} \vec{e}_{21}) \cdot \vec{g}_2^N - (J_1^{IN} \vec{e}_{21}) \cdot \vec{g}_1^N,$$

که \vec{g}^N شتاب گرانش وارد بر ماهواره در دستگاه LSCS است:

$$\vec{g}^N = \begin{bmatrix} -\frac{1}{r} \frac{\partial V}{\partial \phi} \\ \frac{1}{r \cos \phi} \frac{\partial V}{\partial \lambda} \\ -\frac{\partial V}{\partial r} \end{bmatrix} = \quad (49)$$

$$\left[\begin{array}{l} \frac{GM}{r^2} \sum_{n=0}^N \sum_{m=0}^n \left(\frac{R}{r}\right)^n (\bar{c}_{nm} \cos m\lambda + \bar{s}_{nm} \sin m\lambda) \bar{P}'_{nm}(\sin \phi) \\ \frac{GM}{r^2} \sum_{n=0}^N \sum_{m=0}^n m \left(\frac{R}{r}\right)^n (\bar{s}_{nm} \cos m\lambda - \bar{c}_{nm} \sin m\lambda) \frac{\bar{P}_{nm}(\sin \phi)}{\cos \phi} \\ \frac{GM}{r^2} \sum_{n=0}^N \sum_{m=0}^n (n+1) \left(\frac{R}{r}\right)^n (\bar{c}_{nm} \cos m\lambda + \bar{s}_{nm} \sin m\lambda) \bar{P}_{nm}(\sin \phi) \end{array} \right]$$

θ و r به ترتیب مؤلفه‌های مختصاتی در دستگاه مختصات کروی، m و N به ترتیب مرتبه، درجه و بیشینه درجه مطلوب، \bar{c}_{nm} و \bar{s}_{nm} به ترتیب توابع لزاندر وابسته و ضرایب هماهنگ سینوسی و کسینوسی نرمال‌شده و R شعاع متوسط کره زمین است.

همان‌طور که در روابط (۴۷)، (۴۸) و (۴۹) دیده می‌شود، با معلوم بودن بردار e_{21} و ماتریس‌های J^{IN} ، معادلات مذکور یک دستگاه معادلات خطی را نسبت به مجهولات ضرایب ژئوپتانسیل تشکیل می‌دهند که شامل $(N+1)^2$ مجهول است که در صورت وجود تعداد کافی مشاهده، این مجهولات با درجه آزادی مطلوبی قابل سرشکنی خواهند

برآوردگرهای دینامیکی همچون فیلتر کالمن، سرعت و شتاب نسبی یا نرخ تغییرات فاصله بین ماهواره‌ها تا مراتب بالا تخمین زده می‌شود و این مدار نسبی در بازیابی میدان گرانش در این روش به کار گرفته خواهد شد (خادمی و همکاران، ۱۳۹۱ و شریفی، ۲۰۰۴).

اگر \vec{r}_1 و \vec{r}_2 بردارهای موقعیت ماهواره‌های GRACE در سیستم اینرسیال باشند، فاصله بین دو ماهواره (ρ) با رابطه زیر محاسبه می‌شود (خادمی و همکاران، ۱۳۹۱ و شریفی، ۲۰۰۴):

$$\rho = \langle (\vec{r}_2 - \vec{r}_1) \cdot (\vec{r}_2 - \vec{r}_1) \rangle^{\frac{1}{2}} = \langle \vec{r}_{21} \cdot \vec{r}_{21} \rangle^{\frac{1}{2}} \quad (44)$$

پس از مشتق‌گیری از این فاصله روابط زیر حاصل خواهد شد:

$$\dot{\rho} = \frac{\langle \vec{r}_{21} \cdot \vec{r}_{21} \rangle}{\rho} \quad (45)$$

$$\ddot{\rho} = \frac{\langle \vec{r}_{21} \cdot \vec{r}_{21} \rangle + \langle \vec{r}_{21} \cdot \vec{r}_{21} \rangle - \left[\frac{\langle \vec{r}_{21} \cdot \vec{r}_{21} \rangle}{\rho} \right]^2}{\rho} \quad (46)$$

از طرفی، برای مشتق دوم نیز به صورت معادل روابط زیر را خواهیم داشت (خادمی و همکاران، ۱۳۹۱):

$$(\vec{g}_2^I - \vec{g}_1^I) \cdot \vec{e}_{21} = \ddot{\rho} - \frac{\langle \vec{r}_{21} \cdot \vec{r}_{21} \rangle - \rho^2}{\rho} - \\ (\vec{a}_2^I - \vec{a}_1^I) \cdot \vec{e}_{21}, \quad (47)$$

که g_1^I و g_2^I بردارهای شتاب گرانشی وارد بر ماهواره‌ها، a_1^I و a_2^I بردارهای شتاب ناشی از نیروهای سطحی وارد بر ماهواره‌ها و e_{21} بردار یکه راستای خط واصل دو ماهواره‌ها در دستگاه مختصات اینرسیال هستند. همچنین می‌توان شتاب‌های موجود در دستگاه اینرسیال را با استفاده از ژاکوبین تبدیل، به دستگاه مختصات LSCS یا

تفاضل روی مدار دو ماهواره، مدار نسبی ماهواره‌ها، مشاهدات فاصله KBR و با مشتق‌گیری عددی θ نقطه‌ای نیوتن، تغییرات فاصله KBR و مشتق دوم آن نسبت به زمان محاسبه شده است. پس از آن با درنظر گرفتن بردار وضعیت به صورت برداری θ مؤلفه‌ای شامل موقعیت، سرعت و شتاب نسبی، مدار نسبی شبیه‌سازی شده با استفاده از فیلتر کالمن گسترش یافته فیلتر شده است.

دینامیک مفروض برای این مسئله مدلی خطی است و مشاهدات نیز به صورت مستقیم از مدار نسبی یا همان بردار وضعیت درنظر گرفته شده‌اند. پس از گسسته‌سازی دینامیک برای بازه زمانی $30\text{ s} = \Delta t$ داریم (صفری و همکاران، ۱۳۹۳):

$$\phi(\Delta t) = \begin{bmatrix} 1 & 0 & 0 & \Delta t & 0 & 0 & \frac{\Delta t^2}{2} & 0 & 0 \\ 0 & 1 & 0 & 0 & \Delta t & 0 & 0 & \frac{\Delta t^2}{2} & 0 \\ 0 & 0 & 1 & 0 & 0 & \Delta t & 0 & 0 & \frac{\Delta t^2}{2} \\ 0 & 0 & 0 & 1 & 0 & 0 & \Delta t & 0 & 0 \\ 0 & 0 & 0 & 0 & 1 & 0 & 0 & \Delta t & 0 \\ 0 & 0 & 0 & 0 & 0 & 1 & 0 & 0 & \Delta t \\ 0 & 0 & 0 & 0 & 0 & 0 & 1 & 0 & 0 \\ 0 & 0 & 0 & 0 & 0 & 0 & 0 & 1 & 0 \\ 0 & 0 & 0 & 0 & 0 & 0 & 0 & 0 & 1 \end{bmatrix} \quad (50)$$

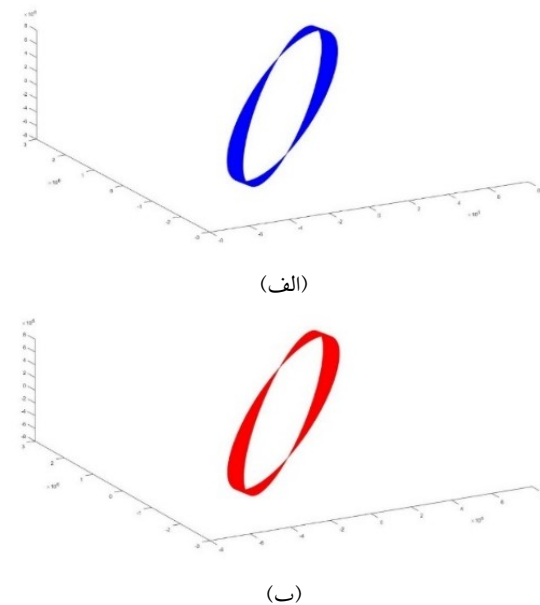
$$Q_d(\Delta t) = \begin{bmatrix} \frac{1}{20}r\Delta t^5 & 0 & 0 & \frac{1}{8}r\Delta t^4 & 0 & 0 & \frac{1}{6}r\Delta t^3 & 0 & 0 \\ 0 & \frac{1}{20}r\Delta t^5 & 0 & 0 & \frac{1}{8}r\Delta t^4 & 0 & 0 & \frac{1}{6}r\Delta t^3 & 0 \\ 0 & 0 & \frac{1}{20}r\Delta t^5 & 0 & 0 & \frac{1}{8}r\Delta t^4 & 0 & 0 & \frac{1}{6}r\Delta t^3 \\ \frac{1}{8}r\Delta t^4 & 0 & 0 & \frac{1}{3}r\Delta t^3 & 0 & 0 & \frac{1}{2}r\Delta t^2 & 0 & 0 \\ 0 & \frac{1}{8}r\Delta t^4 & 0 & 0 & \frac{1}{3}r\Delta t^3 & 0 & 0 & \frac{1}{2}r\Delta t^2 & 0 \\ 0 & 0 & \frac{1}{8}r\Delta t^4 & 0 & 0 & \frac{1}{3}r\Delta t^3 & 0 & 0 & \frac{1}{2}r\Delta t^2 \\ \frac{1}{6}r\Delta t^3 & 0 & 0 & \frac{1}{2}r\Delta t^2 & 0 & 0 & r\Delta t & 0 & 0 \\ 0 & \frac{1}{6}r\Delta t^3 & 0 & 0 & \frac{1}{2}r\Delta t^2 & 0 & 0 & r\Delta t & 0 \\ 0 & 0 & \frac{1}{6}r\Delta t^3 & 0 & 0 & \frac{1}{2}r\Delta t^2 & 0 & 0 & r\Delta t \end{bmatrix} \quad (51)$$

در جهت ارزیابی اولیه کیفیت عملکرد این دو روش، مشاهده KBR برای EKF نیز با رابطه (۴۵) محاسبه و با مشاهدات شبیه‌سازی شده مقایسه شده است. شکل ۲ اختلاف مشاهدات شبیه‌سازی شده با دو روش گفته شده را با مشاهدات شبیه‌سازی شده نشان می‌دهد.

بود. این در حالی است که در فرایند بازیابی میدان گرانش، چهار ضربی درجه صفر و یک ژئوپتانسیل معلوم فرض شده است و بنابراین تعداد مجھولات به $(N+1)^3$ کاهش می‌یابد (خدامی و همکاران، ۱۳۹۱ و شریفی، ۲۰۰۴).

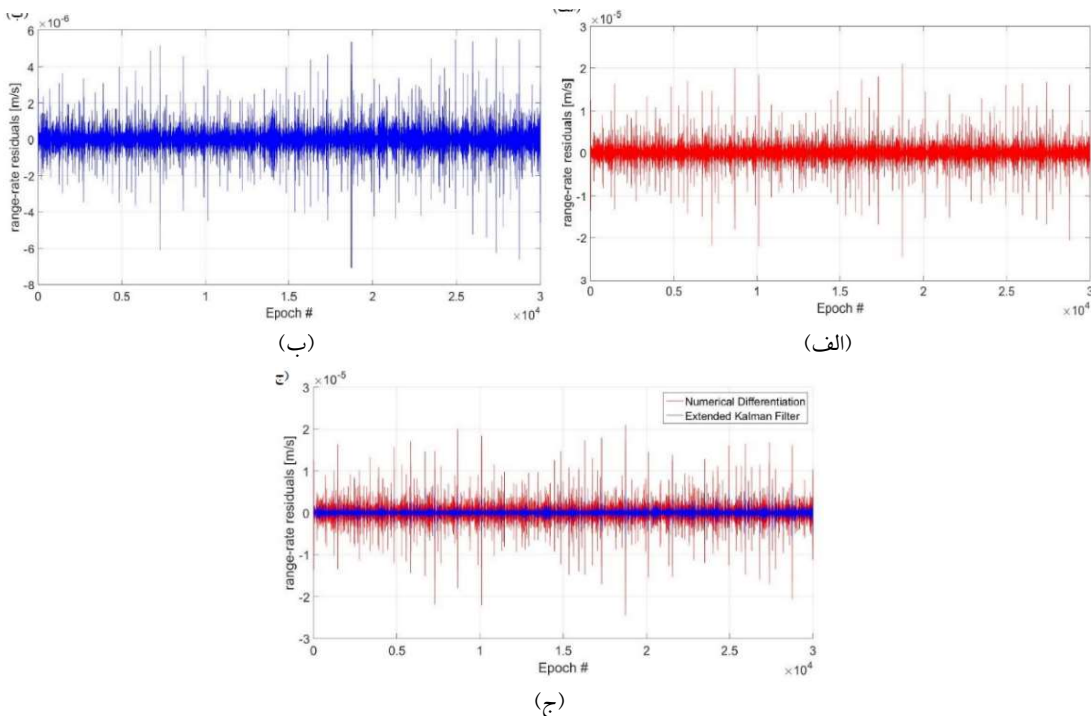
۴ نتایج

در مرحله پیاده‌سازی داده‌های مفروض در این پژوهش، به صورت شبیه‌سازی بوده و مدار دینامیکی ماهواره‌های GRACE در مدل گرانشی EGM96 تا درجه و مرتبه ۷۰، با تفکیک زمانی ۳۰ ثانیه و به مدت ۳۰ روز است. همچنین به منظور اجرای الگوریتم تلقیق داده با UKF، مشاهدات KBR نیز از داده‌های مداری شبیه‌سازی و تولید شده‌اند. مدار انتشار یافته با انتگرال گیری عددی رونگه-کوتای مرتبه ۴ و ۵ برای ماهواره GRACE در شکل ۱ مشخص شده است.



شکل ۱. (الف) مدار ماهواره‌های GRACE A و (ب) و GRACE B در دستگاه مختصات اینرسیال

برای تولید مدار نسبی ماهواره‌ها در جهت آماده‌سازی داده‌های ورودی مسئله بازیابی میدان گرانش، با اعمال



شکل ۲. اختلاف مشاهدات بازسازی شده با دو روش (الف) مشتق‌گیری عددی و (ب) EKF با مشاهدات شیوه‌سازی شده (ج) مقایسه با قیمانده دو روش

جدول ۱. مشخصات آماری مربوط به سه روش مشتق‌گیری عددی، EKF و UKF

آماره / روش پیشنهادی	مشتقگیری عددی نیوتون (متر)	فیلتر کالمن گسترش یافته (متر)	فیلتر کالمن بی اثر (متر)
میانگین	-۰/۰۰۰۰۰۰۱۶۳	-۰/۰۰۰۰۰۰۱۸۷۸۷۱	-۰/۰۰۰۰۰۰۱۵۹۶۹۱۸۸
کمینه	-۰/۰۰۰۰۰۲۴۵۰۸۷۹	-۰/۰۰۰۰۰۰۷۰۷۷۳۷۱	-۰/۰۰۰۰۰۰۷۶۸۸۷۶۷۸
بیشینه	-۰/۰۰۰۰۰۲۰۹۳۱۱۴۲	-۰/۰۰۰۰۰۰۵۰۹۴۲۲۸	-۰/۰۰۰۰۰۰۵۱۸۷۵۹
انحراف میار	-۰/۰۰۰۰۰۰۱۹۱۰۷۵	-۰/۰۰۰۰۰۰۷۴۴۶۳۱۲	-۰/۰۰۰۰۰۰۵۲۶۳۵۷

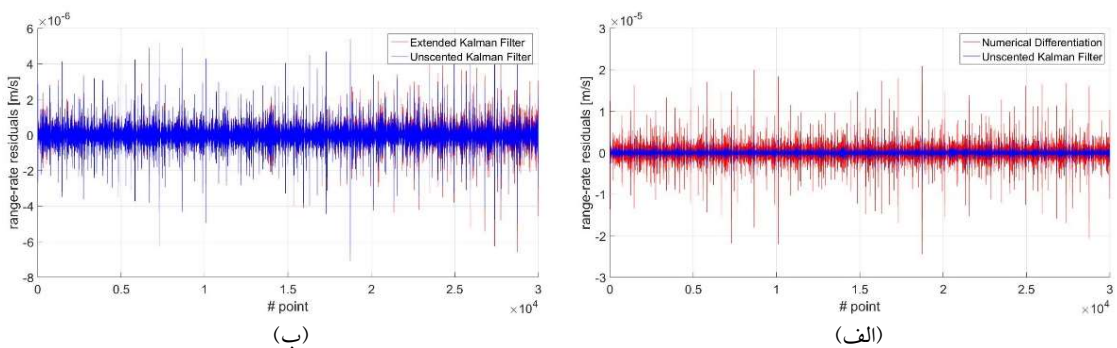
که H_1 مشاهدات GPS و H2 مشاهده KBR است و رابطه‌ای غیرخطی با مؤلفه‌های بردار مدار دارد. پارامترهای بهینه انتخابی α , β و κ به ترتیب برابر ۱، ۰ و ۲ در نظر گرفته شده و با آزمون و خطای دست‌آمده‌اند. برای اعتبارسنجی این روش، اختلاف مشاهده بازسازی شده از این روش و مشاهدات شیوه‌سازی شده در شکل ۳ بررسی شده است.

برای مقایسه کمی و دقیق‌تر، آماره‌های میانگین، کمینه، بیشینه و انحراف معیار اختلاف برای هر سه روش در جدول ۱ تنظیم شده است.

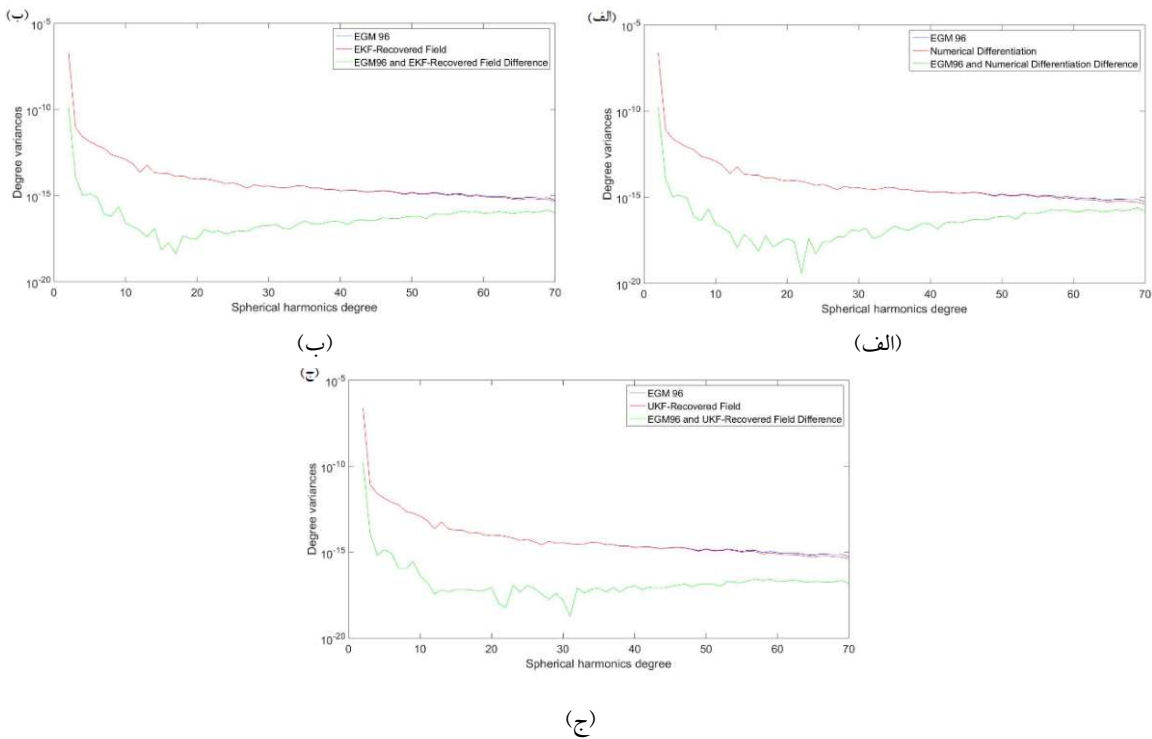
پس از آن با UKF مشاهدات شبیه‌سازی شده و مدار نسبی و همچنین دینامیک مناسب و تبدیلات دینامیکی مشابه EKF، دو نوع مشاهده تلفیق شدند که در این فرایند مدل مشاهدات برای تلفیق به صورت زیر است:

$$H_1 = \Delta r^o = [I \quad 0 \quad 0] \begin{bmatrix} \dot{\Delta r} \\ \ddot{\Delta r} \\ \dddot{\Delta r} \end{bmatrix} + v_{r1}, \quad (\text{d2})$$

$$H_2 = \frac{\langle \overrightarrow{\Delta r}, \dot{\overrightarrow{\Delta r}} \rangle}{|\Delta r|} + \nu_{r2}, \quad (54)$$



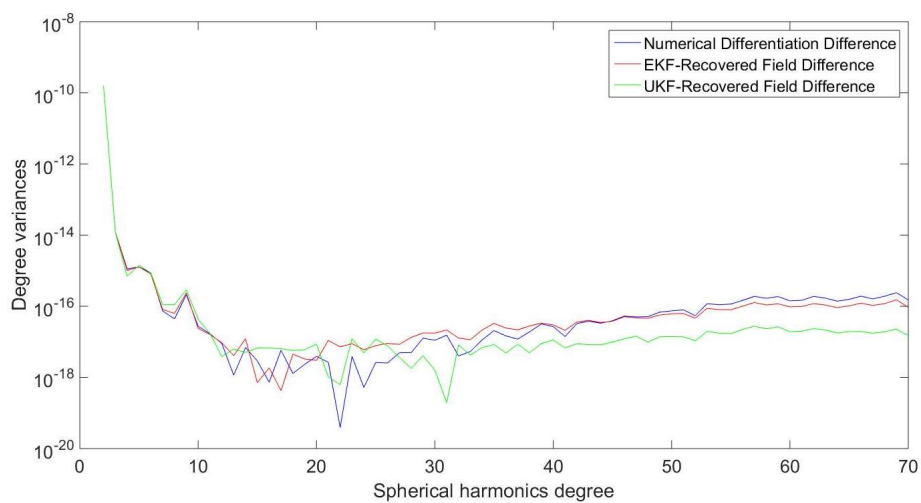
شکل ۳. (الف) اختلاف مشاهدات بازسازی شده با روش های مشتق گیری عددی و UKF با مشاهدات شبیه سازی شده (ب) اختلاف مشاهدات بازسازی شده با روش های UKF و EKF با مشاهدات شبیه سازی شده



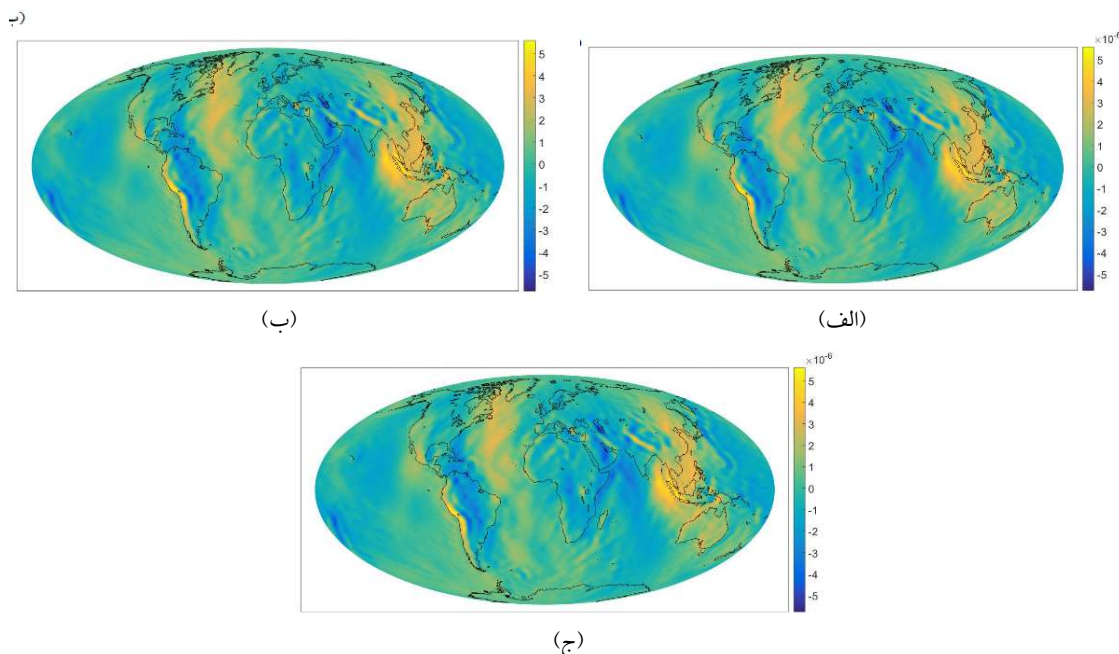
شکل ۴. نمودار مقایسه توان طیفی (واریانس درجه) میدان مرجع EGM96 با میدان بازیابی شده با سه روش (الف) مشتق گیری عددی (ب) EKF و (ج) UKF

دست آمده و مشاهدات بازسازی شده از هر سه روش، میدان گرانش زمین با به کار گیری روش شتاب برآورد شده است. خروجی بازیابی شتاب در هر مرحله همان ضرایب ژئوپتانسیل است که در جهت برآورد دقت بازیابی توان طیفی - که در سری هماهنگ های کروی، معادل واریانس درجه (Degree-Variance) است - از ۲ تا ۷۰ درجه هماهنگ کروی از رابطه (۵۴) محاسبه و با نظری

با مقایسه آماره های مشخص شده می توان به روشنی مشاهده کرد که روش EKF نسبت به مشتق گیری عددی و روش UKF نسبت به روش EKF انحراف معیار کمتر و درنتیجه کارایی و دقت بیشتری دارد. هدف نهایی این پژوهش مقایسه نتایج بازیابی میدان گرانش با روش شتاب با استفاده از مدار نسبی به دست آمده از روش های پیشنهادی بود؛ بنابراین با استفاده از مدارهای نسبی به-



شکل ۵. مقایسه اختلاف توان طیفی به دست آمده از سه روش مشتق‌گیری عددی، EKF و UKF با مدل مرجع EGM96



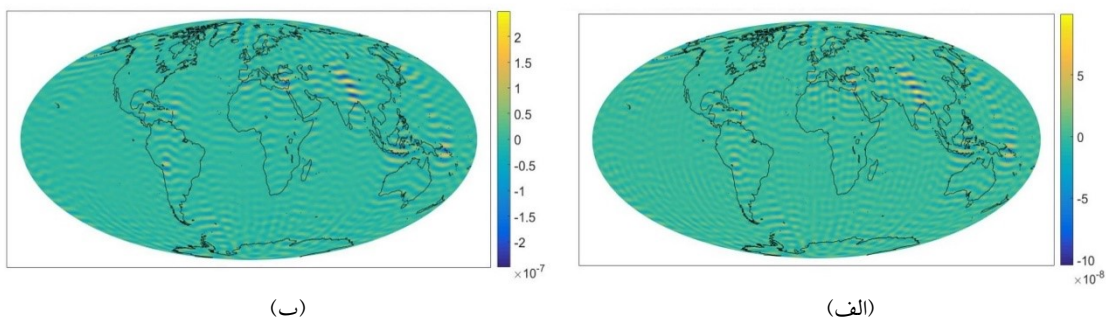
شکل ۶. نمودار اختلاف ارتفاع ژئوئید محاسبه شده برای میدان مرجع EGM96 نسبت به ارتفاع ژئوئید محاسبه شده برای میدان بازیابی شده از محصولات (الف) مشتق‌گیری عددی (ب) EKF (ج) UKF

حالی که در باقیمانده KBR، بهبود چشمگیری در انحراف معیار باقیمانده‌ها با این روش حاصل شده بود. از طرفی، می‌توان دید که اختلاف توان طیفی برای روش UKF در حالت کلی کمتر و درنتیجه مطلوب‌تر از دو روش پیشنهای دیگر است.

مدل EGM96 مقایسه شده است (شکل ۴):

$$DV(n) = \sum_{m=0}^n A_{nm}^2 + B_{nm}^2 \quad (54)$$

همان طور که در شکل ۴ مشاهده می‌شود، مدل روش EKF نسبت به روش مشتق‌گیری عددی با اندکی اختلاف، بازیابی میدان گرانش را بهبود بخشیده است در-



شکل ۷. اختلاف ژئوئید محاسباتی با روش EKF (راست) و UKF (چپ) نسبت به ژئوئید محاسباتی با روش مشتق‌گیری عددی

شده با روش‌های EFK و UKF نسبت به روش مشتق‌گیری عددی در شکل ۷ نشان داده شده است. با توجه به دامنه تغییرات در شکل ۸ می‌توان نتیجه گرفت که اختلاف در بازیابی میدان از منظر ارتفاع ژئوئید برای روش UKF نسبت به مشتق‌گیری عددی که ضعیف‌ترین عملکرد را در بازسازی KBR داشته است، در مقایسه با اختلاف روش‌های EFK و مشتق‌گیری عددی به طور کلی چیزی در حدود پنج تا ده برابر بهتر است و این خود دلیلی دیگر بر برتری روش UKF بر سایر روش‌های پیشنهادی است.

۵ نتیجه‌گیری

در بازیابی میدان گرانش به روش شتاب، مدار نسبی خوش‌ماهواره‌ها باید مشخص شود. دقت زیاد در برآورد مدار نسبی، به دقت زیاد در بازیابی ضرایب منجر می‌شود. امروزه با گیرندهای سامانه موقعیت‌یاب جهانی، امکان ردیابی و تعیین موقعیت ماهواره‌های مدار پایین فراهم آمده است. در پژوهش کنونی، در ابتدا با داده‌های موقعیت، توانایی دو روش مشتق‌گیری عددی و فیلتر کالمن گسترش یافته در برآورد مدار نسبی ارزیابی شد. برای این منظور، نرخ تغییرات فاصله بین ماهواره‌ای \dot{r} از مدارهای برآورده شده بازسازی شد و با مشاهدات KBR شبیه‌سازی شده ارزیابی شد. با توجه به نتایج، روش EKF

با ملاحظه در شکل ۵ می‌توان دید اختلاف توانواریانس درجه برای UKF در همانگاه‌های با طول موج متوسط (درجه بیشتر از 30°) تقریباً ده برابر کوچک‌تر از هر دو روش پیشنهادی دیگر است و سازگاری این نتیجه با نتایج ذکر شده برای KBR، نشان از برتری و کارایی چشمگیر این روش در بازیابی میدان گرانش تا درجات بالا نسبت به دو روش دیگر دارد.

برای مقایسه بهتر، با داشتن ضرایب بازیابی شده و ضرایب میدان مرجع EGM96، اختلاف ارتفاع ژئوئید را با تفاضل ضرایب متناظر برای تصویری با توان تفکیکی 0.5° درجه ترسیم و با فیلتر پایین‌گذرهای گاوی نرم می‌شود تا مقایسه بازیابی از منظری دیگر نیز انجام شود. نتایج ترسیم اختلاف ارتفاع‌های ژئوئیدی در شکل ۶ مشخص شده است.

از شکل ۶ می‌توان نتیجه گرفت در حالت کلی اختلاف میدان گرانش به دست آمده از این سه روش نسبت به میدان مرجع EGM96، از منظر ارتفاع ژئوئیدی تا درجه 10° از مراتب میکرومتر است و دامنه تغییراتی به اندازه 10° میکرومتر دارد و از آنجاکه در تصاویر، اختلاف بزرگی به نظر نمی‌رسد، می‌توان دریافت که در هر سه روش، مقادیر نسبت به دامنه تغییرات بسیار نزدیک هستند؛ ازین‌رو برای بررسی و تحلیل دقیق‌تر کیفیت میدان بازیابی شده با محصولات سه روش نامبرده، اختلاف ژئوئید محاسبه-

خدمی، م.، نجفی علمداری، م. و شریفی، م. ع.، ۱۳۹۱، تأثیر روش‌های مختلف مشتق‌گیری عددی در بازیابی میدان جاذبه به روش انتگرال ارزی، مجله فیزیک زمین و فضا، ۴۳(۴)، ۸۹-۱۰۳.

صفری، ع. ر.، شریفی، م. ع.، فرزانه، س.، ۱۳۹۳، تعیین سرعت سینماتیک ماهواره‌های مدار پایین با استفاده از فیلتر کالمن تعمیم‌یافته؛ بررسی موردی: زوج ماهواره GRACE: مجله فیزیک زمین و فضا، ۴۰(۴)، ۶۷-۸۲.

Bagherbandi, M., Sjoberg, L.E., Tenzer, R., and Abrehdari, M., 2015, A new Fennoscandian crustal thickness model based on CRUST1.0 and a gravimetric-isostatic approach: Earth-Science Reviews, **145**, 132-145.

Crassidis, J.L., and Junkins, J.L., 2012, Optimal estimation for dynamic systems: Taylor and Francis, USA.

Gerlach, C., Sneeuw, N., Visser, P., and Svehla, D., 2003, CHAMP gravity field recovery using the energy balance approach, First CHAMP Mission Results for Gravity: Magnetic and Atmospheric Studies, 134-139.

Gibbs, B.P., Advanced Kalman filtering, Least squares and modelling, 2011: Wiley, USA.

Heiskanen, W.A., and Moritz, H., 1984, Physical Geodesy: Institute of Physical Geodesy, Technical University Graz, Austria.

Julier, S.J., 2002, The scaled unscented transform: Proceedings of the 2002, IEEE.

Julier, S.J., and Uhlmann, J.K., 2004, Unscented filtering and nonlinear estimation: Proceedings of the IEEE, 92(3), 401-422.

Kalman, R.E., 1960, A new approach to linear filtering and prediction problems: Journal of basic engineering, 82, 35-45.

Reubelt, T., Sneeuw, N., Iranpoor, S., et al., 2013, Future Gravity Field Satellite Missions, Observation of the System Earth from Space - CHAMP, GRACE, GOCE and future missions: Advanced Technologies in Earth Sciences, 165-203.

Rummel, R., Balmino, G., Johannessen, J., Visser, P., and Woodworth, P., 2002, Dedicated gravity field missions- principles and aims: Journal of Geodynamics, 33(1-2), 3-20.

با انحراف معیار کمتر، به عنوان روش برتر انتخاب شد. همچنین به منظور تلفیق مشاهدات موقعیت KBR و GNSS از روش UKF استفاده شد و با مقایسه نتایج این الگوریتم با KBR شبیه‌سازی شده، صحت و کارایی این روش با توجه به نتایج موجود در جدول ۱ تصدیق شد. درنهایت، با مقایسه هر سه روش نیز روش UKF روش انتخابی در برآورد مدار نسبی بهینه ماهواره‌ها معرفی می‌شود. به منظور ارزیابی دوباره و دقیق‌تر و بررسی کارایی عملی نتایج، با استفاده از مدارهای برآورده شده و روش شتاب، میدان گرانش EGM96 بازیابی شد. با تأمل در نمودارهای رسم‌شده می‌توان کارایی عملی روش UKF را در ارائه ورودی‌های بسیار قابل اعتماد و اتکا برای بازیابی میدان گرانش دید و به صورت خاص بهبود تقریباً ده برابری را در بازیابی هماهنگ‌های با درجات بالاتر از ۳۰ دریافت. همچنین با توجه به دامنه تغییرات اختلاف ارتفاع ژئوئیدی در شکل ۷ می‌توان نتیجه گرفت اگرچه در برآورد مدار، EKF در مقایسه با مشتق‌گیری عددی، روشنی برتر و در مقایسه با UKF روشنی ناتوان تر قلمداد شده است، در بازیابی میدان گرانش، روش UKF نسبت به روش EKF با اختلاف قابل توجهی به عنوان روشنی کارا و برتر ارزیابی شده است. پیشنهاد می‌شود در پژوهش‌های آتی، نوشهای مرتبط با داده‌ها به واقعیت نزدیک‌تر شود و عملکرد روش‌های پیشنهادی در هنگام وجود نوشهای پیچیده آزمایش و بررسی شود.

منابع

- خدمی، م.، نجفی علمداری، م. و شریفی، م. ع.، ۱۳۸۹، تأثیر روش‌های مختلف مشتق‌گیری عددی در بازیابی میدان جاذبه به روش شتاب: اولین همایش ملی سازه، زلزله، ژئوتکنیک، بابلسر، مازندران، ایران.

Voss, K.A., Famiglietti, J.S., MinHoi L., Linage C., Rodell, M., and Swenson, S.C., 2013, Groundwater depletion in the Middle East from GRACE with implications for transboundary water management in the Tigris-Euphrates-Western Iran region: Water Resources Research, **49**(2), 904-914.

Sharifi, M.A., 2004, Satellite gradiometry using a satellite pair: Diploma thesis, University of Stuttgart, Stuttgart, Germany.

Sharifi, M.A., 2006, Satellite to satellite tracking in the space-wise approach, Ph.D. thesis, University of Stuttgart, Stuttgart, Germany.

GRACE satellite pairs and GNSS range observations fusion using unscented Kalman filter (Case study: recovery of simulated gravitational field)

Mohammad Ali Sharifi^{1*}, Saeed Farzaneh², and Ali Amootaghi³

¹Associate Professor, Faculty of Engineering, University of Tehran, Iran

²Assistant Professor, Faculty of Engineering, University of Tehran, Iran

³M. Sc. of Geodesy, Faculty of Engineering, University of Tehran, Iran

(Received: 03 November 2018, Accepted: 24 April 2019)

Summary

Earth gravitational field interacts closely with a variety of natural phenomena. Therefore, studying and modeling the gravitational field and keeping tracks of its changes over time can make a huge contribution to the related geophysical and environmental researches. A well-proven method which is used in dynamic estimation of time varying state parameters is "Kalman filter". Kalman filter exploits dynamical properties of the states and noisy measurements to estimate the optimal state for every time epoch, in its filtering scheme. Smoothed properties of the involved dynamics, the accuracy of the noisy measurements, pay for noises in measurements and incompleteness of the interchangeable dynamics provide optimal estimates of state for the dynamic system. "Standard Kalman Filter" is performed to acquire the optimal solution when dealing with linear dynamics with white noises in both dynamics and measurements while a non-linear system cannot be dealt with in the same way. Various versions of Kalman filter have been introduced so far, including Extended Kalman Filter (EKF) and Unscented Kalman Filter (UKF). The former uses linearization to derive locally-linear dynamics while the latter is the approximation of the probability distribution of the states using sampling points of the state vector which are commonly referred to as "sigma points". Due to the linearization involved in EKF, the method does not give precise solutions when there are non-linearities of high orders while UKF solution is significantly better in the sense of precision, accuracy and optimality. In this paper, the 9-points Newton numerical differentiation is applied on the range values calculated from the relative state vector to reconstruct the so-called KBR range-rate observations and EKF is performed along with positions of observations to give an optimal estimate of the state vector at each time epoch. The calculated range-rates from both methods are then compared statistically. Then, UKF is used to fuse position and range-rate observations and to estimate state vector. Finally, the residuals of the reconstructed range-rate observations of three methods are compared statistically. The results show a relatively significant improvement in KBR observations reconstructions for UKF estimated states. To re-evaluate the superiority of UKF from the practicality point of view, the reconstructed range-rates are used to estimate the harmonics coefficients of geopotential model in a field recovery problem using "acceleration method" in a closed-loop simulation for EGM96. The degree-variances and differences in geoid heights are calculated and plotted. The results show a near 5 to 10-times fold improvement in gravitational field recovery using UKF results compared to the other two mentioned methods.

Keywords: EKF, gravitational field, numerical differentiation, UKF, GRACE satellites

*Corresponding author:

sharifi@ut.ac.ir